РАЗДЕЛ III. КОМПОНЕНТЫ ИНФОРМАЦИОННО-ИЗМЕРИТЕЛЬНЫХ И УПРАВЛЯЮЩИХ СИСТЕМ

УДК 621.385.833

ПРИМЕНЕНИЕ СФЕРИЧЕСКОГО ДЕТЕКТОРА ДЛЯ АНАЛИЗА СТМ-ИЗОБРАЖЕНИЙ

Ю.К. Шелковников, П.В. Гуляев, А.В. Тюриков, С.Р. Кизнерцев, А.И. Кириллов

В статье рассмотрены особенности анализа изображений частиц в сканирующей туннельной микроскопии. Представлен сферический детектор измерения уровня локальной кривизны поверхности. Приведены результаты работы данного детектора, а также рекомендации по его применению.

Ключевые слова: сканирующий туннельный микроскоп, анализ изображений, локальная кривизна поверхности, детектор кривизны, сферический детектор.

Введение

Сканирующий туннельный микроскоп (СТМ) является весьма перспективным инструментом изучения наночастиц и материалов на их основе. В СТМ математический аппарат обработки изображений используется для поиска и определения размеров наночастиц или локальных особенностей поверхности подложки. Это бывает необходимо при решении следующих задач:

- разработка методов исследований, основанных на поочередном применении различных зондирующих игл и сканирующих устройств к одному участку поверхности;
- координатная привязка зондирующего острия к определенным участкам поверхности наночастиц [1,2];
- учет и определение размеров частиц.
 Постановка задачи

Для решения перечисленных задач перспективным может считаться подход, основанный на структурном анализе изображений [3]. Как было установлено ранее [1], суть этого подхода заключается в измерении уровня кривизны поверхности, т.е. в сегментации изображения на элементарные структуры. Используемые для этих целей плоские детекторы кривизны [1] отличаются невысокой вычислительной сложностью и показывают хорошие результаты на изображениях высокого качества. Для менее качественных изображений предлагается использовать объемный (сферический) детектор.

Принцип работы данного детектора можно пояснить следующем образом. Поместим в точку A на рельефе СТМ-изображения, описываемого функцией Z(x,y), центр сферы небольшого радиуса r. Обозначим через величину V часть объема образца, заключенного внутри сферы (рисунок 1), и будем ассоциировать V с кривизной поверхности в точке A.

При этом в точках с положительной кривизной будет справедливо отношение:

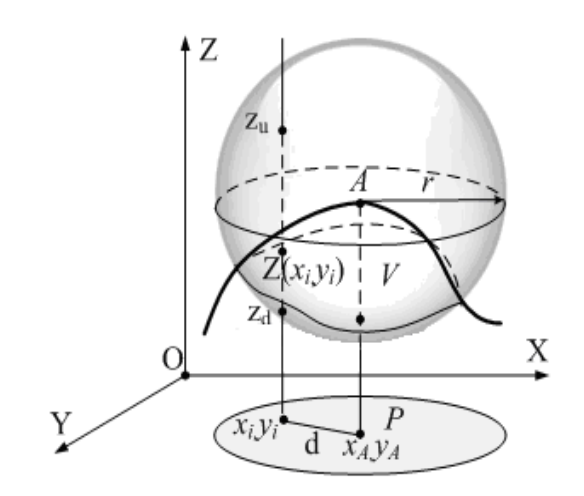


Рисунок 1 - Схема сферического детектора кривизны

 $V\,/\,(V_0\,/\,2)\,{<}\,1$, а в точках с отрицательной кривизной: $V\,/\,(V_0\,/\,2)\,{>}\,1$, где V_0 - полный объем сферы. Далее будем рассматривать кривизну только выпуклых областей изображений. Установим связь между объемом V и оценкой радиуса кривизны Z(x,y) в точке A. Пусть часть рельефа в окрестности этой точки аппроксимируется сферой радиуса R (рисунок 2). Установим зависимость R от V и г. Для этого найдем объём V общей части двух шаров, ограниченных сферами:

$$\begin{cases} x^2 + y^2 + z^2 = R^2, \\ x^2 + y^2 + (R - z)^2 = r^2 \end{cases}$$

Пересечение сфер находится на уровне

$$r^2 - R^2 + 2Rz = R^2 \Longrightarrow z = R - \frac{r^2}{2R}$$
 и пред-

ставляет собой круг с радиусом $\sqrt{r^2-\frac{r^4}{4R^2}}$. Вычисления в декартовых координатах дают достаточно громоздкие выражения.

ПОЛЗУНОВСКИЙ ВЕСТНИК № 3/2, 2012

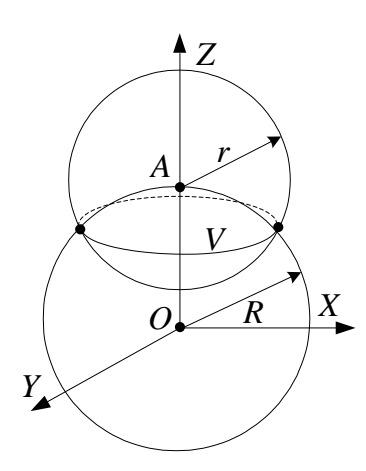


Рисунок 2 - Схема вычисления объема общей части двух сфер

В цилиндрических координатах объём V ограничен сверху поверхностью

$$z = \sqrt{R^2 - \rho^2}$$
, снизу - поверхностью

$$z = R - \sqrt{r^2 - \rho^2}$$
 , поэтому:

$$V = \iiint_{V} dv = \int_{0}^{2\pi} d\phi \int_{0}^{\sqrt{r^{2} - \frac{r^{4}}{4R^{2}}}} \rho d\rho \int_{R - \sqrt{r^{2} - \rho^{2}}}^{\sqrt{R^{2} - r^{2}}} dz =$$

$$=2\pi \int_{0}^{\sqrt{r^{2}-\frac{r^{4}}{4R^{2}}}} \left[\sqrt{R^{2}-\rho^{2}}+\sqrt{r^{2}-\rho^{2}}-R\right]\rho d\rho$$

После промежуточных вычислений получим:

$$V = \pi \left[\frac{8R^3r^3 - 3R^2r^4}{12R^3} \right] = \pi \left[\frac{2}{3}r^3 - \frac{r^4}{4R} \right].$$

Отсюла:

$$R = \frac{3\pi r^4}{4(3V - 2\pi r^3)} \,. \tag{1}$$

В алгоритме, реализующем сферический детектор, значение V определяется по приближенной формуле вычисления интеграла:

$$V = \iiint_{V} dv \approx \sum_{x_{i}, y_{i} \in P} \sum_{i} f(x_{i}, y_{i}),$$

где $f(x_i,y_i)$ — эффективная (определяющая объем) длина вертикальной линии между точкой $Z(x_i,y_i)$ и нижней точкой Zd пересечения сферы; (x_i,y_i) — точки круга P (рисунок 1), радиус которых определяется выражением:

$$d = \sqrt{(x_i - x_A)^2 + (y_i - y_A)^2} \le r .$$

В каждой такой точке вычисляются следующие величины (рисунок 1):

$$\begin{aligned} z_{sh} &= \sqrt{r^2 - d^2} \;, \\ z_d &= Z(x_A, y_A) - z_{sh} \;, \\ z_u &= Z(x_A, y_A) + z_{sh} \;. \end{aligned}$$

Тогда для функции $f(x_i,y_i)$ можно записать:

$$f(x_i, y_i) = \begin{cases} Z(x_i, y_i) - z_d, & z_d < Z(x_i, y_i) < z_u \\ 2z_{sh}, & Z(x_i, y_i) \ge z_u \\ 0, & Z(x_i, y_i) \le z_d \end{cases}.$$

После сканирования всех строк изображения функции Z(x,y) ставится в соответствие функция V(x,y), максимумы и минимумы которой определяют положения локальных экстремумов кривизны Z(x,y).

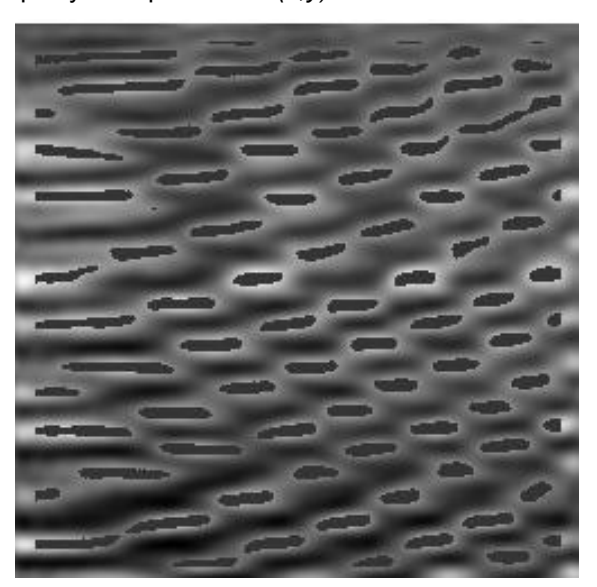


Рисунок 3 — Выделение областей положительной кривизны

Знак кривизны можно оценить проверкой условий:

- ullet если $V(x,y)\!<\!V_{_{\!0}}\!/2$, то кривизна положительная ($V_{_{\!0}}\!=\!4\pi r^3/3$ объем сферы);
- если $V(x,y) > V_0/2$ кривизна отрицательная;
- если $V(x,y) = V_0 / 2$ точка (x,y) располагается на плоской части поверхности.

На рисунке 3 приведен пример выделения областей положительной кривизны сферическим детектором. В этих областях оценка радиуса кривизны поверхности производится по формуле (1).

Результаты и их обсуждение

Для получения статистически значимых результатов использованы модельные изоб-

Ю.К. ШЕЛКОВНИКОВ, П.В. ГУЛЯЕВ, А.В. ТЮРИКОВ, С.Р. КИЗНЕРЦЕВ, А.И. КИРИЛЛОВ97

РАЗДЕЛ III. КОМПОНЕНТЫ ИНФОРМАЦИОННО-ИЗМЕРИТЕЛЬНЫХ И УПРАВЛЯЮЩИХ **CUCTEM**

ражения сферических объектов. В процессе их генерации на неравномерном фоне случайным образом размещается *n*obj сферических объектов (CO) заданного радиуса Robj и затем наносится случайный гауссовский шум с нулевым математическим ожиданием и дисперсией σ_{sh}^2 . Пример такого изображения можно найти в работе [1].

В ходе испытаний сферического детектора оценивались следующие параметры:

- R_{cp} средний радиус СО;
- σ_R^2 дисперсия радиусов СО;

$$oldsymbol{P}_{\scriptscriptstyle R}(\%) = rac{\left|R_{\scriptscriptstyle cp} - R_{\scriptscriptstyle obj}
ight|}{R_{\scriptscriptstyle obj}} 100\%$$
 - относитель-

ная погрешность вычисления радиусов;

- σ_{C}^{2} дисперсия вычисленных значений координат СО;
- $P_{\scriptscriptstyle n}(\%) = rac{\left|n_{\scriptscriptstyle t} n_{\scriptscriptstyle obj}
 ight|}{n_{\scriptscriptstyle obi}} 100\%$ _ относительная

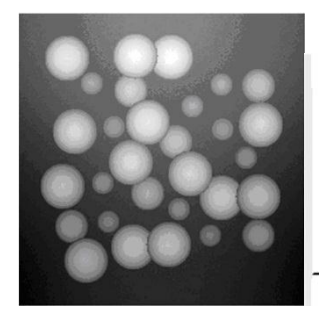
погрешность идентификации СО (n_t число верно идентифицированных объектов).

Анализ работы детектора (при изменении радиуса r) проводился посредством серии испытаний на модельном изображении с параметрами n_{obj} =50, R_{obj} =13, σ_{sh}^2 =1.0. Peзультаты испытаний приведены в таблице 1. из которой следует, что при увеличении радиуса детектора r оценка радиуса Rср также увеличивается. Это обусловлено тем, что при возрастании г в анализируемую окрестность вовлекаются точки, не входящие в описание данного СО и каждая такая точка увеличивает значение оценки радиуса локальной кривизны окрестности. Вместе с тем, необходимо отметить, что для сферического детектора характерно наличие оптимального значения параметра r, обеспечивающего наилучшие условия для детектирования частиц определенного радиуса.

Таблица 1 - Результаты испытаний сферического детектора при изменении г

٧	рического детектора при изменении г							
	r	R_{cp}	σ_{R}^{2}	P _R (%)	σ_{C}^2	P _n (%)		
	9	12.14	0.76	11.99	1.16	8.00		
	11	12.13	0.45	2.38	0.87	1.33		
	13	13.11	0.29	1.87	0.88	0.00		
	15	13.40	0.16	0.79	0.96	0.00		
	17	14.18	0.22	9.11	1.05	0.00		
	19	15.37	0.71	13.25	1.32	1.00		

Анализ величин относительной погрешности вычисления радиусов СО PR(%) и относительной погрешности идентификации Рп(%) показал, что при заданных условиях наилучшие условия создаются при приблизительном равенстве радиусов детектора и выделяемых объектов r≈Robj. Тем не менее, сферический детектор оказывается эффективным и при выделении объектов различного размера. Это наглядно иллюстрирует гистограмма распределения размеров объектов, представленная на рисунке 4.



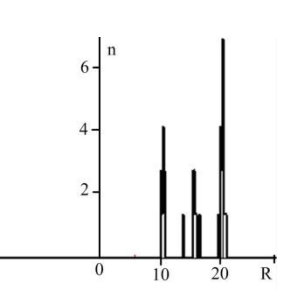


Рисунок 4 – Выделение объектов с различными размерами (10,15,20 пикселей)

С целью проверки помехоустойчивости детектора была проведена серия испытаний при нарастании шума на изображении. Результаты приведены в таблице 2. Сравнение таблицы 2 с данными, приведенными в работе [1] показывает, что сферический детектор имеет повышенную помехоустойчивость.

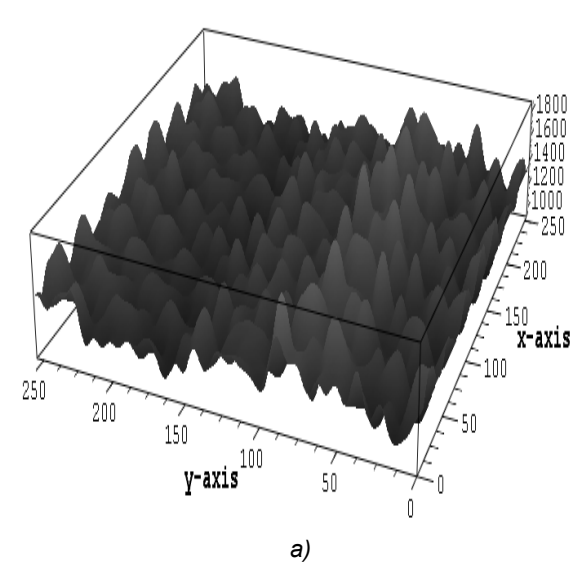
Таблица 2 - Результаты испытаний сферического детектора при изменении σ_{sh}

	$\sigma_{\it sh}$	σ_{R}^{2}	σ_{C}^2	<i>P</i> _n (%)
	0.5	0.65	1.06	0
	1.0	0.53	1.65	0
	1.5	0.53	1.80	0.67
	2.0	0.59	2.47	0.67
	2.5	2.34	2.62	2.67
	3.0	4.11	2.84	3.67
Ī	3.5	6.14	2.92	5.33

Испытания на реальных изображениях выявили высокую степень адаптации детектора к различным искажениям и шумам. Наглядно это можно увидеть на рисунке 5, где показаны исходный рельеф поверхности и рельеф функции кривизны. Как следует из рисунка, функция Z(x,y) имеет существенно неравномерный фон, а функция V(x,y) - равномерный. Таким образом, условия выделения локальных особенностей после преобразования $Z(x, y) \Rightarrow V(x, y)$ существенно улучшаются. Результаты выделения структурных элементов и их координат на реаль-

ПОЛЗУНОВСКИЙ ВЕСТНИК № 3/2, 2012

ном СТМ-изображении показаны на рисунке 6.



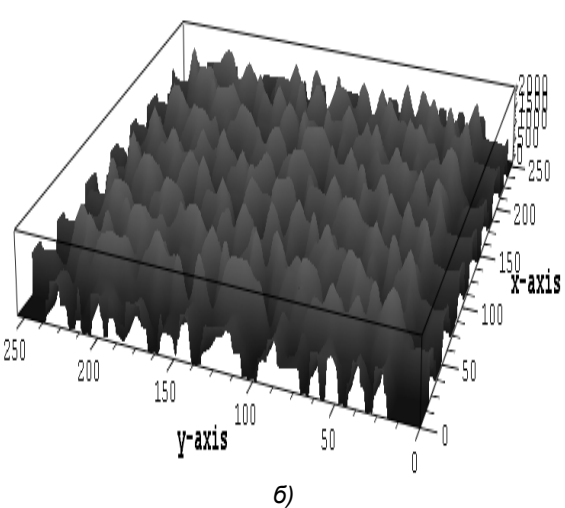


Рисунок 5 - Трехмерное изображение: a - функция Z(x,v): δ - функция V(x,v)

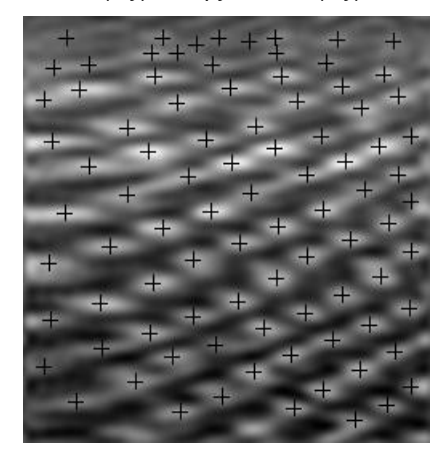


Рисунок 6 - Выделение структурных элементов на изображении графита (30х30нм)

Для повышения точности вычисления координат осуществлялась коррекция координат путем вычисления центра тяжести объема, заключенного внутри сферыдетектора:

$$x_c = \frac{\sum\limits_{x_i, y_i \in P} \sum f(x_i, y_i) \cdot x_i}{\sum\limits_{x_i, y_i \in P} \sum f(x_i, y_i)},$$

$$y_c = \frac{\sum\limits_{x_i, y_i \in P} \sum f(x_i, y_i) \cdot y_i}{\sum\limits_{x_i, y_i \in P} \sum f(x_i, y_i)}.$$

Это позволило увеличить точность вычисления координат СО и уменьшить среднеквадратическое отклонение приблизительно в 2,5 раза.

Выводы

Проведенные исследования показали универсальность и помехоустойчивость сферического детектора. Вычисление центра тяжести объема, заключенного внутри сферыдетектора, позволяет более точно определять координаты выделяемых объектов или частиц Испытания на реальных СТМизображениях показали, что предложенный детектор является эффективным средством их автоматической обработки и может быть рекомендован для вычисления размеров частиц с небольшим разбросом значений.

СПИСОК ЛИТЕРАТУРЫ

- Гафаров М.Р. Контроль дисперсности наночастиц в СТМ-измерениях выделением структурных элементов их изображений [Текст] / М.Р. Гафаров, Е.Ю. Шелковников, П.В. Гуляев А.В. Тюриков, С.Р. Кизнерцев // Ползуновский вестник. 2011. №3. С. 118-124.
- Шелковников, Ю.К. Построение изображений поверхности при многокадровом режиме сканирующего туннельного микроскопа [Текст] / Ю.К. Шелковников, М.Р. Гафаров, П.В. Гуляев, А.В. Тюриков, С.Р. Кизнерцев // Химическая физика и мезоскопия. 2008. т.10. №4.- С.514-520.
- 3. Гонсалес Р. Цифровая обработка изображений [Текст] / Р. Гонсалес, Р. Вудс М.: Техносфера. 2005. 1072с.

Д.т.н., г.н.с.. **Шелковников Ю.К.**,, к.т.н., с.н.с. **Гуляев П.В.**, к.ф.-м.н., с.н.с. **Тюриков А.В.**, к.т.н., с.н.с. **Кизнерцев С.Р.**, студент **Кириллов А.И.** — (3412) 21-89-55, iit@udman.ru - Институт прикладной механики УрО РАН.